



<http://jmvip.sinaweb.net>
www.ismvip.ir

این مقاله در قالب نهایی آن در مجله

ماشین بینایی و پردازش تصویر چاپ خواهد شد

تاریخ انتشار برخط: آبان ماه ۱۳۹۹

رمزنگاری جدید تصاویر خاکستری بر اساس استاندارد رمزنگاری پیشرفته و دنباله DNA

امیرحسین رمزی^۱، کوروش منوچهری کلانتری^۲، علیرضا هدایتی^۳

چکیده

یک تصویر دیجیتال نمایش بصری از چیزی است که بصورت الکترونیکی ایجاد و کپی یا ذخیره شده است. امنیت تصاویر با توجه به استفاده گسترده از تصاویری که در شبکه یا در دیسک ذخیره می‌شوند، نگرانی مهمی در امنیت اطلاعات امروز است. بدلیل آنکه رسانه‌های عمومی غیرقابل اعتماد و در برابر حملات آسیب‌پذیر می‌باشند؛ رمزگذاری تصویر موثرترین راه برای محرمانگی و محافظت از حریم خصوصی تصاویر در رسانه‌های عمومی غیرقابل اعتماد است.

در این مقاله یک الگوریتم جدید رمزنگاری تصویر بر اساس استاندارد رمزنگاری پیشرفته و دنباله DNA برای تصاویر خاکستری ارائه می‌شود. ما نحوه رمزگذاری و رمزگشایی داده‌ها در دنباله DNA بر اساس جایگزینی کدون‌ها و چگونگی انجام مراحل مختلف استاندارد رمزنگاری پیشرفته مبتنی بر DNA را توضیح می‌دهیم. الگوریتم در نرم‌افزار MATLAB 2012b پیاده‌سازی می‌شود و برای ارزیابی اثربخشی آن از معیارهای مختلف عملکرد استفاده می‌شود. تجزیه و تحلیل تئوری و تجربی نشان می‌دهد که الگوریتم پیشنهادی کارایی بهتری در سرعت و دقت دارد. علاوه بر این، تجزیه و تحلیل امنیتی ثابت می‌کند الگوریتم پیشنهادی مقاومت بیشتری نسبت به نویز و حملات شناخته شده از خود نشان می‌دهد؛ به طوری که شکست‌ناپذیری الگوریتم پیشنهادی ۳۷,۴۸٪ بهتر از الگوریتم‌های مورد قیاس می‌باشد.

کلیدواژه‌ها

رمزنگاری تصویر، استاندارد رمزنگاری پیشرفته، دنباله DNA، دقت، سرعت، شکست‌ناپذیری

۱ مقدمه

تصویر را بتوان در نقاشی تصویر پادشاه فردریک سوم و همسرش مشاهده کرد که با استفاده از یک سیلندر شیشه‌ای در مرکز نقاشی، رمزگشایی می‌شود.

تصاویر ممکن است کاربردهای تجاری، نظامی یا حتی پزشکی داشته باشند که برای حفظ امنیت آنها و جلوگیری از دسترسی‌های غیرمجاز به این تصاویر، رمزنگاری آنها قبل از ارسال روی شبکه ضروری است. به این ترتیب فقط عوامل مجاز در صورت داشتن کلید صحیح قادر به رمزگشایی آنها می‌باشند [۱].

تصویر، یک داده حجیم دویبعدی است که کوچکترین واحد آن یک پیکسل است. هر پیکسل از یک تصویر دیجیتال، معرف میزان روشنایی آن نقطه از تصویر است. با توجه به حساسیت چشم انسان در تشخیص سطوح روشنایی از یکدیگر، کل محدوده روشنایی قابل نمایش به ۲۵۶ سطح تقسیم‌بندی می‌شود. بنابراین

با نگاهی به تاریخ، از زمان ایران و یونان باستان تا دوره نقاشی‌های داوینچی، تلاش انسان در جهت پنهان نمودن اطلاعات بصری مشهود بوده است. شاید نخستین تلاش بشر برای رمزنگاری

این مقاله در مردادماه سال ۹۸ دریافت، در مردادماه ۹۹ بازنگری و در شهریورماه همان سال پذیرفته شد.

^۱ دانشجوی کارشناسی ارشد مهندسی کامپیوتر، دانشکده فنی و مهندسی، دانشگاه آزاد اسلامی، واحد تهران مرکزی

رایانامه: ami.razmi.eng@iauctb.ac.ir

^۲ گروه مهندسی کامپیوتر، دانشگاه صنعتی امیرکبیر، واحد دانشگاهی گرمسار

رایانامه: kmanochehri@aut.ac.ir

^۳ گروه مهندسی کامپیوتر، دانشکده فنی و مهندسی، دانشگاه آزاد اسلامی، واحد تهران مرکزی

رایانامه: hedayati@iauctb.ac.ir

نویسنده مسئول: کوروش منوچهری

XOR و XNOR می‌شود [۵]. دارا و منوچهری، طرحی را پیشنهاد کردند که از نگاشت آشوبی لجستیک برای تولید S-box در استاندارد رمزنگاری پیشرفته استفاده می‌شود [۶].

با گسترش محاسبات DNA و پتانسیل زیاد آن در رمزنگاری، اخیراً استفاده از DNA در رمزنگاری تصویر مرسوم شده است. ناصر و همکارانش رمزنگاری تصویر براساس DNA را پیشنهاد کردند که در آن الگوریتم، پیکسل‌های تصویر اصلی با استفاده از قوانین کدگذاری DNA به دنباله‌های DNA تبدیل می‌شود؛ سپس عملگرهایی مانند جمع، تفریق روی آن دنباله‌ها اعمال می‌گردد؛ همچنین آنها از نگاشت آشوبی لجستیک ۲ بعدی در طرح پیشنهادی خود استفاده کردند [۷]. در [۸]، Zhang و همکارش روشی پیشنهاد کردند که در آن از نگاشت آشوبی کوانتوم و قوانین کدگذاری DNA برای رمزنگاری تصویر استفاده می‌شود. در ادامه الگوریتم‌های مورد قیاس به منظور ارزیابی و مقایسه با الگوریتم پیشنهادی شرح داده می‌شود.

۱-۲ رمزنگاری تصویر براساس نگاشت آشوبی و دنباله DNA

ابتدا بهتر است علت انتخاب الگوریتم‌های رمزنگاری مورد نظر برای مقایسه شرح داده شود. هدف از انتخاب آنها برای مقایسه آن است که، دو الگوریتم رمزنگاری از ۲ نسخه متفاوت نگاشت آشوبی لجستیک استفاده می‌نمایند که یکی از الگوریتم‌ها از دنباله DNA استفاده می‌کند و دیگری خیر. بدین صورت می‌توان تاثیر نسخه‌های نگاشت آشوبی و استفاده یا عدم استفاده از دنباله DNA را در الگوریتم رمزنگاری سنجید. همچنین می‌توان تاثیر تغییر نگاشت آشوبی لجستیک به هنون-سین را نیز ارزیابی کرد.

آشوب، همانطور که از نامش پیداست، رفتاری به ظاهر تصادفی و بی‌نظم است که در بسیاری از پدیده‌های دنیای واقعی رخ می‌دهد [۹]. از دهه ۱۹۹۰ تاکنون، سامانه‌های دینامیک آشوبی به صورت گسترده در طراحی استراتژی‌های جدید برای رمزنگاری اطلاعات استفاده شده‌اند. اکثر الگوریتم‌های رمزنگاری تصویر بایستی شامل دو مرحله تکرار شونده باشد: انتشار و اغتشاش. این بدین صورت حاصل می‌شود که تمام پیکسل‌های تصویر به صورت کلی با استفاده از یک نگاشت آشوبی دوبعدی یا سه‌بعدی جایگشت یابند. پیکسل انتقال یافته به مکان جدید در واقع یک جانشانی از پیکسل اولیه می‌باشد. این معماری اساس یکسری از سامانه‌های رمزنگاری مبتنی بر آشوب چندبعدی را تشکیل می‌دهد.

۱-۱-۲ رمزگذاری تصویر با استفاده از نگاشت آشوبی لجستیک ۲ بعدی و DNA

متداولترین و ساده‌ترین سیستم آشوبی به نگاشت لجستیک معروف می‌باشد و اولین بار توسط Robert May معرفی

سطح روشنایی هر پیکسل می‌تواند مقداری بین ۰ تا ۲۵۵ داشته باشد. تصویر خاکستری به تصویری گفته می‌شود که شدت نور هر پیکسل آن می‌تواند از مشکی تا سفید تغییر کند. رنگ سفید با مقدار ۲۵۵ و رنگ سیاه با مقدار ۰ نشان داده می‌شود و سایر سطوح خاکستری مقادیری بین ۰ و ۲۵۵ دارد. هر چقدر عدد به ۲۵۵ نزدیک‌تر باشد، پیکسل مورد نظر روشن‌تر دیده می‌شود و هر چقدر به ۰ نزدیک‌تر باشد پیکسل مورد نظر تاریک‌تر دیده می‌شود [۲].

با توجه به ویژگی‌های ذاتی داده‌های چندرسانه‌ای، وجود محدودیت در توان محاسباتی پردازنده، پهنای باند شبکه انتقال داده و زمان محاسباتی، بایستی از طرح‌های رمزنگاری کارآمد متناسب با شرایط استفاده کرد [۳]. برای غلبه بر مشکلات رمزنگاری تصویر، پژوهشگران تلاش کرده‌اند تا طرح‌های رمزنگاری خاصی برای داده‌های چندرسانه‌ای ابداع کنند. پژوهشگران در طی پژوهش‌های به عمل آمده، ثابت کرده‌اند که طرح‌های جدید از نقطه نظر علم رمزنگاری، دارای یکسری مزایا و معایب می‌باشند [۳].

این مقاله متمرکز بر الگوریتم جدید رمزنگاری تصویر براساس استاندارد رمزنگاری پیشرفته و دنباله DNA برای تصاویر خاکستری است. در بخش ۲، مفاهیم اولیه، کارهای پیشین و الگوریتم‌های مورد قیاس (رمزنگاری تصویر براساس نگاشت آشوبی لجستیک ۲ بعدی و دنباله DNA، نگاشت آشوبی لجستیک ۳ بعدی، نگاشت آشوبی هنون-سین ۲ بعدی و دنباله DNA) بررسی می‌شود. در بخش ۳، الگوریتم پیشنهادی و نحوه اجرای آن مطرح می‌گردد. در بخش ۴، الگوریتم پیشنهادی بوسیله تعدادی از آزمون‌های استاندارد از قبیل آنتروپی، هیستوگرام و غیره ارزیابی شده و سپس با الگوریتم‌های مورد نظر مقایسه می‌شود. در انتها در بخش ۵، جمع‌بندی و نتیجه‌گیری ارائه می‌شود.

۲ مروری بر تحقیقات گذشته

کلمه رمزنگاری (Cryptography) برگرفته از لغات یونانی Kryptos به مفهوم محرمانه و Graphien به معنای نوشتن است. رمزنگاری مطالعه‌ی فرآیند رمزگذاری و رمزگشایی می‌باشد. با تبدیل هنر رمزنگاری به علم رمزنگاری، روش‌های فراوانی برای رمزنگاری و پنهان‌سازی اطلاعات در قالب روش‌های کلاسیک تدوین و توسعه پیدا کرده‌اند. رمزنگاری تصویر به دلیل برخی ویژگی‌های ذاتی آن، هم‌چون هم‌بستگی زیاد میان پیکسل‌ها متفاوت از رمزنگاری متن می‌باشد؛ لذا روش‌های کلاسیک رمزنگاری متن برای این منظور چندان کارآمد نیستند.

در سال ۱۹۸۹، برای اولین بار در رمزنگاری تصویر از سیستم‌های آشوب استفاده شده است [۴]. Yen و همکارش، الگوریتم رمزنگاری مبتنی بر کلید آشوبگون معرفی کردند که در آن یک دنباله دودویی توسط سیستم آشوب تولید می‌گردد و به عنوان کلید رمزنگاری بکار می‌رود؛ همچنین پیکسل‌های تصویر مطابق با دنباله‌های دودویی تولید شده، مرتب می‌شوند و با کلید رمزنگاری

گام چهارم: مقادیر اولیه سیستم آشوبی x_0, y_0, z_0 بروزرسانی می‌شوند؛ مقادیر بروزرسانی شده $\bar{x}_0, \bar{y}_0, \bar{z}_0$ فرض می‌شوند. گام پنجم: بر روی تصویر اصلی P جایگشت اعمال می‌شود و تصویر جایگشت شده A حاصل می‌شود. گام ششم: پارامتر سیستم آشوبی بر روی تمام سطرها و ستونها قبل از فرآیند انتشار اعمال می‌شود. گام هفتم: بعد از اعمال انتشار بر روی تصویر جایگشت شده A ، تصویر رمزگذاری شده C حاصل می‌شود.

۳-۱-۲ رمزگذاری تصویر با استفاده از نگاشت آشوبی

هنون-سین ۲ بعدی و DNA

نگاشت هنون یک نگاشت آشوبی دوبعدی معکوس‌پذیر می‌باشد که در سال ۱۹۷۶ توسط هنون معرفی شده است. نگاشت آشوبی هنون-سین ۲ بعدی طبق رابطه (۳) تعریف می‌شود [۱۲].

(۳)

در رابطه (۳)، پارامترهای نگاشت برابر هستند با $a, b \in (-\infty, +\infty)$ و x, y مقادیر اولیه نگاشت می‌باشند.

فرآیند رمزگذاری تصویر براساس نگاشت آشوبی هنون-سین ۲ بعدی و دنباله DNA به شرح زیر می‌باشد:

گام اول: پارامترها و مقادیر اولیه سیستم آشوبی $a_1, b_1, x_1^0, y_1^0, a_2, b_2, x_2^0, y_2^0$ به عنوان کلید رمزنگاری در نظر گرفته می‌شوند.

گام دوم: تصویر اصلی با استفاده از قانون رمزگذاری DNA رمزگذاری می‌شود که منجر به تولید ماتریسی با عنوان ماتریس $I_{m \times n}$ می‌شود؛ سپس I به آرایه‌ای با عنوان P و طول mn تغییر شکل می‌دهد.

گام سوم: توالی P با اعمال فرآیند انتشار در سطح DNA، به توالی جدیدی تبدیل می‌شود.

گام چهارم: توالی جدید تولید شده جایگشت می‌شود تا توالی رمزگذاری C حاصل شود.

گام پنجم: توالی رمزگذاری C باعث تولید I_c با اندازه $m \times n$ می‌شود. I_c ماتریسی می‌باشد که توسط قانون رمزگشایی DNA، رمزگشایی می‌شود. در اصل، همان تصویر رمزگذاری شده می‌باشد.

۳ روش تحقیق

الگوریتم پیشنهادی، یک نسخه جدید از استاندارد رمزنگاری پیشرفته به نام الگوریتم رمزنگاری تصویر براساس استاندارد رمزنگاری پیشرفته و دنباله DNA می‌باشد. در ابتدا بهتر است نحوه رمزنگاری براساس DNA شرح داده شود و سپس به نحوه رمزنگاری تصویر براساس استاندارد رمزنگاری پیشرفته و دنباله DNA پرداخته شود.

شده است. نگاشت آشوبی لجستیک ۲ بعدی را می‌توان طبق رابطه (۱) تعریف کرد [۱۰].

$$\begin{cases} x_{i+1} = x_i u_1 (1 - x_i) + \lambda_1 y_i^2 \\ y_{i+1} = y_i u_2 (1 - y_i) + \lambda_2 (x_i^2 + x_i y_i) \end{cases} \quad (1)$$

در رابطه (۱)، $0.21 < \lambda_1 < 0.15$ ، $0.13 < \lambda_2 < 0.15$ و $x_i, y_i \in (0, 1]$ می‌باشد. پارامترهای سیستم و x, x مقادیر اولیه نگاشت می‌باشند.

فرآیند رمزگذاری تصویر براساس نگاشت آشوبی لجستیک ۲ بعدی و دنباله DNA به شرح زیر می‌باشد:

گام اول: کلید رمزنگاری به وسیله تابع درهم‌ساز ۲۵۶ بیتی از تصویر اصلی محاسبه می‌شود. همچنین پارامترها و مقادیر اولیه سیستم آشوبی $\lambda_2, \lambda_1, u_2, u_1, y_0, x_0$ نیز در آن دخیل می‌باشند. گام دوم: تصویر اصلی $P(M \times N)$ با استفاده از قانون رمزگذاری DNA رمزگذاری می‌شود که منجر به تولید ماتریس DNA $P_2(M \times 4N)$ می‌شود.

گام سوم: یک جایگشت مبتنی بر موج در سطح DNA بر روی ماتریس P_2 اعمال می‌شود و ماتریس اغتشاش P_3 حاصل می‌شود.

گام چهارم: انتشار در سطح DNA بر روی ماتریس P_3 اعمال می‌شود و ماتریس P_4 به دست می‌آید.

گام پنجم: ماتریس DNA P_4 توسط قانون رمزگشایی DNA، رمزگشایی می‌شود. در نهایت، تصویر رمزگذاری شده تولید می‌شود.

۳-۱-۲ رمزگذاری تصویر با استفاده از نگاشت آشوبی

لجستیک ۳ بعدی

نگاشت آشوبی لجستیک ۳ بعدی را می‌توان طبق رابطه (۲) تعریف کرد [۱۱].

$$\begin{cases} x_{i+1} = \alpha x_i (1 - x_i) + \beta z_i^2 x_i + \gamma z_i^3 \\ y_{i+1} = \alpha y_i (1 - y_i) + \beta y_i^2 y_i + \gamma x_i^3 \\ z_{i+1} = \alpha z_i (1 - z_i) + \beta x_i^2 z_i + \gamma y_i^3 \end{cases} \quad (2)$$

در رابطه (۲)، $0 < \beta < 0.022$ ، $0.35 < \alpha < 3.81$ ، $0 < \gamma < 0.015$ و $x_i, y_i, z_i \in (0, 1)$ می‌باشد. پارامترهای سیستم و x, y, z مقادیر اولیه نگاشت می‌باشند.

فرآیند رمزگذاری تصویر براساس نگاشت آشوبی لجستیک ۳ بعدی به شرح زیر می‌باشد:

گام اول: تصویر اصلی به عنوان ماتریس P و اندازه آن $m \times n$ در نظر گرفته می‌شود.

گام دوم: پارامترها و مقادیر اولیه سیستم آشوبی مقاداردهی می‌شوند.

گام سوم: مقدار درهم‌سازی تصویر اصلی توسط تابع درهم‌ساز محاسبه می‌شود.

دودویی ۰۱، ۱۰ و ۱۱ استفاده شوند، آنگاه کد DNA مربوط به پیکسلی با مقدار ۱۷۳ (که معادل دودویی آن ۱۰۱۰۱۱۰۱ است)، برابر با TTGA خواهد شد؛ نحوه نمایش مقدار ۱۷۳ بدین صورت می باشد که از سمت راست ۲ بیت ۲ بیت جدا کرده و معادل نوکلئوتید DNA نوشته می شود:

$$\frac{10}{T} \frac{10}{T} \frac{11}{G} \frac{01}{A}$$

جدول ۳: حالت‌های مجاز برای رمزنگاری

	۱	۲	۳	۴	۵	۶	۷	۸
A	۰۰	۰۰	۰۱	۰۱	۱۰	۱۰	۱۱	۱۱
T	۱۱	۱۱	۱۰	۱۰	۰۱	۰۱	۰۰	۰۰
C	۰۱	۱۰	۰۰	۱۱	۰۰	۱۱	۰۱	۱۰
G	۱۰	۰۱	۱۱	۰۰	۱۱	۰۰	۱۰	۰۱

۱-۳ الگوریتم پیشنهادی

الگوریتم پیشنهادی همانند استاندارد رمزنگاری پیشرفته، یک الگوریتم کلید متقارن است، بدین معنی که از یک کلید رمزنگاری یکسان برای رمزگذاری و رمزگشایی استفاده می کند که این کلید رمزنگاری می تواند ۱۲۸، ۱۹۲ و ۲۵۶ بیتی باشد [۱۸]. در این مقاله به دلیل افزایش امنیت از کلید رمزنگاری با اندازه ۲۵۶ بیت استفاده می شود. همچنین اندازه کلید رمزنگاری مورد استفاده در این الگوریتم، تعداد تکرارهای چرخه های تبدیل را نیز تعیین می کند. تعداد چرخه های تکرار به صورت زیر است:

- ۱۰ چرخه تکرار برای کلیدهای ۱۲۸ بیتی
- ۱۲ چرخه تکرار برای کلیدهای ۱۹۲ بیتی
- ۱۴ چرخه تکرار برای کلیدهای ۲۵۶ بیتی

در اصل الگوریتم پیشنهادی همانند استاندارد رمزنگاری پیشرفته عمل می کند؛ تنها تفاوت آنها در این است که داده ها در الگوریتم پیشنهادی بر مبنای نوکلئوتید می باشد. الگوریتم پیشنهادی شامل ۶ گام رمزگذاری و رمزگشایی، یای انحصاری، جانشین سازی بایتهای، جابجاسازی سطرها، درهم ریزی ستون ها و افزودن کلید چرخه می باشد که در ادامه به آنها پرداخته می شود.

۱-۱-۳ رمزگذاری و رمزگشایی

در این بخش، نشان داده می شود که چگونه داده های دودویی بدون تغییر آمینو اسیدهای یک پروتئین بر اساس جایگزینی کدون ها، به DNA تبدیل می شوند.

تبدیل داده ها به یک زنجیره نوکلئوتید به منظور ایجاد یک رشته DNA می تواند باعث تکثیر و ایجاد وضعیت بد برای گونه شود. برای حل این مشکل، از جایگزینی کدون ها در DNA استفاده می شود که به سلول های زنده آسیب نمی رساند. جایگزینی کدون ها، تغییر حداقل یک کدون توسط یک کدون متفاوت دیگر در توالی

DNA از واحدهای ساده تری به نام نوکلئوتید ساخته شده است که هر نوکلئوتید شامل گوانین^۱، سیتوزین^۲، آدنین^۳، تیمین^۴ می باشد. در هر رشته DNA، هر سه نوکلئوتید متوالی یک کدون نامیده می شود و هر کدون یک اسید آمینه را در یک پروتئین مشخص می کند (مانند جدول ۱) [۱۳] تا [۱۶].

جدول ۱: کدون ها و اسید آمینه مربوط به آنها

کدون	اسید آمینه
ATA, ATC, ATT	Isoleucine
CTA, CTC, CTG, CTT, TTA, TTG	Leucine
GTA, GTC, GTG, GTT	Valine
GGA, GGC, GGG, GGT	Glycine

برای استفاده از DNA برای رمزنگاری، ابتدا باید اطلاعات دودویی را به فرمت DNA تبدیل کرد. طبق جدول ۲، الفبای DNA از چهار حرف A، C، G، T تشکیل شده است [۱۷]. داده ابتدا به بیت و پس از آن به فرمت DNA تبدیل می شود. اگر داده یک متن باشد، آنگاه واحد رمزنگاری کارا کتر است و به صورت کد ۷ بیتی نمایش داده می شود؛ اگر داده یک تصویر باشد، آنگاه واحد رمزنگاری پیکسل است و حداقل بصورت کد ۸ بیتی نمایش داده می شود. با توجه به اینکه هر حرف DNA با ۲ بیت نمایش داده می شود، بدین معنی است که یک کارا کتر یا یک پیکسل در ۴ حرف نمایش داده خواهد شد که برابر با یک بایت است.

جدول ۲: تبدیل دودویی به DNA

DNA	دودویی	۷ بیتی	۸ بیتی
A	۰۰	۰	۰+۱=۱
C	۰۱	۱	۱+۱=۲
G	۱۰	۲	۱+۲=۳
T	۱۱	۳	۱+۳=۴

آدنین و تیمین و همچنین گوانین و سیتوزین مکمل یکدیگرند. از آنجا که ۰ و ۱ مکمل هم هستند، بنابراین ۰۰ و ۱۱ نیز مکمل هم خواهند بود. به همین صورت ۰۱ و ۱۰ نیز وضعیت مشابهی داشته و مکمل یکدیگر هستند. با استفاده از چهار ترکیب آدنین، سیتوزین، گوانین و تیمین، بیست و چهار حالت مختلف برای رمزنگاری وجود دارد. اما با توجه به این قانون که آدنین و تیمین و همچنین گوانین و سیتوزین مکمل یکدیگرند، تنها هشت حالت که در جدول ۳ آمده است، معتبر خواهند بود.

برای یک تصویر خاکستری ۸ بیتی، هر پیکسل می تواند بصورت دنباله های DNA با طول ۴ نشان داده شود. برای مثال اگر سیتوزین، آدنین، تیمین و گوانین به ترتیب برای نمایش مقادیر

¹ Guanine (G)

² Cytosine (C)

³ Adenine (A)

⁴ Thymine (T)

کدون یک ژن می‌باشد. در الگوریتم پیشنهادی از جایگزینی کدون‌هایی استفاده می‌شود که در آن، توالی‌های اسید آمینه تغییر نمی‌کند؛ بنابراین هیچ تغییری در تولید پروتئین وجود نمی‌آید. در الگوریتم پیشنهادی، مقادیر پیکسل‌های تصویر ابتدا به داده‌های دودویی تبدیل و سپس براساس قوانین DNA که در بخش ۳ توضیح داده شده‌است، به دنباله DNA تبدیل می‌شوند. فرض می‌شود، داده‌ها در یک رشته DNA ذخیره شده‌اند. حروف z, y, x (همچنین x', y', z') به صورت پیشنهادی برای نوکلئوتید (A, C, G, T) انتخاب می‌شوند. به این ترتیب با انتخاب دلخواه، کدونی به عنوان xyz یا $(x'y'z')$ نوشته می‌شود. کدون‌هایی که با نوکلئوتید x شروع می‌شوند و نوکلئوتید بعد از آن y می‌باشد، اسید آمینه l را تولید می‌کنند که در یک آرایه (لیست) $S_{xy}(l)$ گروه‌بندی می‌شوند. این آرایه بر اساس حروف الفبا مرتب می‌شود. به عنوان مثال، فرض کنید که نماد l به اسید آمینه ایزولوسین اشاره دارد، بنابراین طبق جدول ۳، $S_{AT}(l) = \{ATA, ATC, ATT\}$ می‌باشد.

Algorithm 1 Encoding

Input: $e = (e_{m-1}e_{m-2} \dots e_0)_2$ is a binary data and S is a known part in DNA with m non-omittable codons.

Output: S after storing e in S as replaced Codons.

Begin

1: Let the m non-omittable codons in S be $x_i y_i z_i, i = 0, 1, \dots, m-1$.

2: **for** $i = 0$ to $m-1$ **do**

3: $x_i y_i z'_i = FSM(x_i y_i z_i), i. e., |x_i y_i z'_i| = 0$.

4: $x_i y_i z'_i = SM(x_i y_i z_i, e_i)$

5: **end for**

The m non-omittable codons in S are exposed to replaced Codons.

End

برای توضیح مراحل الگوریتم ۱، از نمونه زیر استفاده می‌شود: فرض کنید که داده‌های دودویی $e = (110101)_2$ و $S = TCC$ - و همچنین $TCG-TGG-CAA-GCA-ATC-CAG$ می‌باشد. S و ورودی الگوریتم ۱ می‌باشند. توجه داشته باشید که TCC - و $TCG-CAA-GCA-ATC-CAG$ ۶ کدون غیرقابل حذف در S می‌باشند. با استفاده از نگاشت FSM در ۶ کدون، کدون‌های $TCA-TCA-CAA-GCA-ATA-CAA$ به ترتیب بازنمایی می‌شوند. بطوریکه

- هر وقت که $e_0 = 1$ ، کدون TCA به TCC تبدیل می‌شود.
 - هر وقت که $e_1 = 0$ ، کدون TCA به TCA تبدیل می‌شود.
 - هر وقت که $e_2 = 1$ ، کدون CAA به CAG تبدیل می‌شود.
 - هر وقت که $e_3 = 0$ ، کدون GCA به GCA تبدیل می‌شود.
 - هر وقت که $e_4 = 1$ ، کدون ATA به ATC تبدیل می‌شود.
 - هر وقت که $e_5 = 1$ ، کدون CAA به CAG تبدیل می‌شود.
- بنابراین، کدگذاری $e = (110101)_2$ در $S = TCC-TGG-CAA-GCA-ATC-CAG$ منجر به جایگزینی کدون‌ها $TCC-TCA-TGG-CAG-GCA-ATC-CAG$ می‌شود. توجه داشته باشید که کدون TGG در طول رمزگذاری در نظر گرفته نمی‌شود زیرا TGG یک کدون قابل حذف است.

کدون‌هایی استفاده می‌شود که در آن، توالی‌های اسید آمینه تغییر نمی‌کند؛ بنابراین هیچ تغییری در تولید پروتئین وجود نمی‌آید.

در الگوریتم پیشنهادی، مقادیر پیکسل‌های تصویر ابتدا به داده‌های دودویی تبدیل و سپس براساس قوانین DNA که در بخش ۳ توضیح داده شده‌است، به دنباله DNA تبدیل می‌شوند. فرض می‌شود، داده‌ها در یک رشته DNA ذخیره شده‌اند. حروف z, y, x (همچنین x', y', z') به صورت پیشنهادی برای نوکلئوتید (A, C, G, T) انتخاب می‌شوند. به این ترتیب با انتخاب دلخواه، کدونی به عنوان xyz یا $(x'y'z')$ نوشته می‌شود. کدون‌هایی که با نوکلئوتید x شروع می‌شوند و نوکلئوتید بعد از آن y می‌باشد، اسید آمینه l را تولید می‌کنند که در یک آرایه (لیست) $S_{xy}(l)$ گروه‌بندی می‌شوند. این آرایه بر اساس حروف الفبا مرتب می‌شود. به عنوان مثال، فرض کنید که نماد l به اسید آمینه ایزولوسین اشاره دارد، بنابراین طبق جدول ۳، $S_{AT}(l) = \{ATA, ATC, ATT\}$ می‌باشد.

از آنجا که $S_{xy}(l)$ یک آرایه مرتب شده‌است، کدون‌های $S_{xy}(l)$ با صفر شروع می‌شوند. برای مثال، $|ATA| = 0$ و $|ATT| = 2$ در $S_{AT}(l)$ می‌باشد. اگر $xyz \in S_{xy}(l)$ باشد، پس $|xyz|$ موقعیت (یا شاخص) xyz را در $S_{xy}(l)$ نشان می‌دهد. بنابراین، در طول این مقاله، عملیات محاسباتی با توجه به شاخص $|xyz|$ بر روی کدون xyz انجام می‌گیرد.

هنگامیکه یک بیت ۰ یا ۱ است، یک لیست $S_{xy}(l)$ با حداقل دو کدون می‌تواند برای جایگزینی استفاده شود. به عبارت دیگر، یک کدون که هیچ کدون جایگزین برای تولید اسید آمینه یکسان (یعنی تعداد عناصر $S_{xy}(l)$ یک می‌باشد) را بدلیل عدم جایگزینی کدون‌ها نمی‌توان استفاده کرد. بنابراین، این کدون‌ها حذف می‌شوند که به آنها کدون‌های قابل حذف گفته می‌شود.

به آرایه $S_{xy}(l)$ که تنها یک کدون دارد، آرایه قابل حذف گفته می‌شود و کدون آن نیز کدون قابل حذف نامیده می‌شود. کدونی که قابل حذف نباشد، کدون غیرقابل حذف نامیده می‌شود. به عنوان مثال، کدون‌ها ATG و AGG کدون قابل حذف و کدون ATA کدون غیرقابل حذف می‌باشد.

به منظور جایگزینی کدون‌ها، یک نگاشت با نام نگاشت جایگزینی^۵ معرفی می‌شود که xyz کدون غیرقابل حذف را به یک xyz' کدون غیرقابل حذف دیگر تبدیل می‌نماید؛ به طوری که هر دو کدون اسید آمینه مشابه تولید می‌کنند. چون ممکن است بیش از یک xyz وجود داشته باشد، نگاشت جایگزینی عملکرد xyz و موقعیت xyz' را در $S_{xy}(l)$ مشخص می‌نماید.

در نگاشت جایگزینی فرض می‌شود که $xyz \in S_{xy}(l)$ و i یک عدد صحیح می‌باشد. نگاشت جایگزینی $SM(xyz, i) = xyz'$ بدین صورت تعریف می‌شود که تعریف می‌شود که $xyz' \in S_{xy}(l)$

⁶ First Substitution Map (FSM)

⁵ Substitution Map (SM)

۳-۱-۳ جانشین‌سازی بایت‌ها

این مرحله شامل استفاده از یک جدول جستجو می‌باشد که S-box نامیده می‌شود تا بایت جایگزین شده را برای هر بایت در آرایه حالت ورودی پیدا کند. الگوریتم ۳ برای انجام جانشین‌سازی بایت‌ها در حالت DNA با ۱۶ $S_{i,j}$ ($i, j = 0, 1, 2, 3$) که هر $S_{i,j}$ شامل ۸ کدون غیرقابل حذف است، ارائه می‌شود.

Algorithm 3 Substitution Bytes

Input: a DNA state \bar{S} :

$S_{0,0}, S_{1,0}, S_{2,0}, S_{3,0}, S_{0,1}, S_{1,1}, S_{2,1}, S_{3,1}, \dots, S_{3,3}$, where each $S_{i,j}$ is 8 non-omittable codons.

Output: perform the substitution on \bar{S}

Begin

1: **for** $i = 0$ to 3 **do**

2: **for** $j = 0$ to 0 **do**

3: $d_{i,j} = \text{Decoding}(S_{i,j})$

4: $\text{Encoding}(S\text{-box}(d_{i,j}), S_{i,j})$

5: **end for**

6: **end for**

End

۳-۱-۴ جابجاسازی سطرها

مرحله جابجاسازی سطرها روی سطرهای حالت اعمال می‌شود. بدین صورت که، بایت‌های هر سطر به وسیله یک آفست معین به صورت چرخشی شیفت می‌یابد. نخستین سطر بدون تغییر باقی می‌ماند. هر بایت از سطر دوم یکی به سمت چپ شیفت می‌یابد. به صورت مشابه، سطرهای سوم و چهارم به ترتیب با آفست‌های دو و سه شیفت می‌یابند. سطر n به تعداد $n - 1$ بایت به صورت چرخشی به چپ شیفت می‌یابد. بدین صورت، هر ستون از حالت خروجی در این مرحله ترکیب شده بایت‌های هر ستون از حالت ورودی است. این فرآیند توسط الگوریتم ۴ انجام می‌گیرد. سپس از الگوریتم ۴ برای تعریف گام جابجاسازی سطرها به عنوان الگوریتم ۵ استفاده می‌شود.

Algorithm 4 Swap

Input: S_0 and S_1 are two DNA strands and each one is 8 non-omittable codons with $d_0 = \text{Decoding}(S_0)$ and $d_1 = \text{Decoding}(S_1)$.

Output: Changing in S_0 and S_1 such that $d_1 = \text{Decoding}(S_0)$ and $d_0 = \text{Decoding}(S_1)$

Begin

1: **for** $i = 0$ to 1 **do**

2: $d_i = \text{Decoding } S_i$

3: **end for**

4: $\text{Decoding}(d_1, S_0)$

5: $\text{Encoding}(d_0, S_1)$

End

Algorithm 5 Shift Rows

Input: a DNA state \bar{S} :

$S_{0,0}, S_{1,0}, S_{2,0}, S_{3,0}, S_{0,1}, S_{1,1}, S_{2,1}, S_{3,1}, \dots, S_{3,3}$, where each $S_{i,j}$ is 8 non-omittable codons.

Output: perform Shift Rows on \bar{S} .

1: Swap $(S_{1,0}, S_{1,1})$ ▶ shifting second row:

2: Swap $(S_{1,1}, S_{1,2})$

3: Swap $(S_{1,2}, S_{1,3})$

4: Swap $(S_{2,0}, S_{2,2})$ ▶ shifting third row:

5: Swap $(S_{2,1}, S_{2,3})$

6: Swap $(S_{3,0}, S_{3,1})$ ▶ shifting fourth row:

7: Swap $(S_{3,2}, S_{3,3})$

8: Swap $(S_{3,0}, S_{3,2})$

End

Algorithm 2 Decoding

Input: S is a known part in DNA that stores $e = (e_{m-1}e_{m-2} \dots e_0)_2$ as replaced Codons.

Output: $e = (e_{m-1}e_{m-2} \dots e_0)_2$

Begin

1: Let the non-omittable codons in S be $x_i y_i z_i, i = 0, 1, \dots, m - 1$.

2: **for** $i = 0$ to $m - 1$ **do**

3: $e_i = |x_i y_i z_i| \pmod{2}$

4: **end for**

5: return e .

End

برای توضیح مراحل الگوریتم ۲، از نمونه زیر استفاده می‌شود:

$S = \text{TCC-TCA-TGGCAG-GCA-ATC-CA}$ فرض کنید

خروجی رمزگذاری بوسیله الگوریتم ۲ است. کدون‌های غیرقابل

حذف $\text{TCC-TCACAG-GCA-ATC-CAG}$ در S می‌باشند.

با استفاده از جدول ۱:

• TCC یک است و e_0 نیز یک می‌باشد.

• TCA صفر است و e_1 نیز یک می‌باشد.

• CAG یک است و e_2 نیز یک می‌باشد.

• GCA صفر است و e_3 نیز صفر می‌باشد.

• ATC یک است و e_4 نیز یک می‌باشد.

• CAG یک است و e_5 نیز یک می‌باشد.

بنابراین، خروجی $e = (110101)_2$ است.

۳-۱-۲ یای انحصاری

عملیات یای انحصاری یا XOR در الگوریتم پیشنهادی استفاده

می‌شود. در استاندارد رمزنگاری پیشرفته عملیات یای انحصاری

بیتی بین دو رشته با طول یکسان انجام می‌شود؛ در حالیکه در

الگوریتم پیشنهادی، عمل یای انحصاری بین دو رشته DNA

انجام می‌شود. رشته اول DNA به عنوان دنباله‌ای از کدون‌ها در

نظر گرفته می‌شود و دومین رشته DNA به عنوان دنباله

نوکلئوتیدها در نظر گرفته می‌شود. تعداد کدون‌ها در اولین رشته

DNA برابر با تعداد نوکلئوتیدها در رشته دوم است. قبل از انجام

عملیات یای انحصاری دومین رشته DNA با یک توالی از ارقام

۰، ۱، ۲ و ۳ ($T=3$ و $G=2, C=1, A=0$) با نوکلئوتیدها کدگذاری

می‌شود. سپس یای انحصاری بین اولین رشته DNA و توالی

رقم‌ها با استفاده از نگاشت جایگزینی انجام می‌گیرد.

در یای انحصاری فرض می‌شود که $S_1 = x_0 y_0 z_0 - \dots - x_n y_n z_n$

یک دنباله از کدون‌ها می‌باشد و S_2 یک

توالی نوکلئوتید با توالی رقمی K_0, K_1, \dots, K_n است که

$$k_i = \begin{cases} 0, & \text{if } x_i = A; \\ 1, & \text{if } x_i = C; \\ 2, & \text{if } x_i = G; \\ 3, & \text{if } x_i = T; \end{cases} \quad (4)$$

در الگوریتم پیشنهادی، عملیات یای انحصاری \oplus_{DNA} در دو

مرحله استفاده می‌شود: درهم‌ریزی ستون‌ها (بخش ۵-۱-۳) و

افزودن کلید چرخه (بخش ۶-۱-۳).

۵-۱-۳ درهم‌ریزی ستون‌ها

Algorithm 7 Mix Columns

Input: a DNA state S' :

$S_{0,0}, S_{1,0}, S_{2,0}, S_{3,0}, S_{0,1}, S_{1,1}, S_{2,1}, S_{3,1}, \dots, S_{3,3}$, where each $S_{i,j}$ is 8 non-omittable and $d_{i,j} = \text{Decoding}(S_{i,j})$

Output: perform Mix Columns on S' .

Begin

- 1: **for** $j = 0$ to 3 **do**
- 2: U_0 is a chain of nucleotides with the digit sequence $(d_{0,j} \oplus d_{1,j})$
- 3: U_1 is a chain of nucleotides with the digit sequence $(d_{1,j} \oplus d_{2,j})$
- 4: U_2 is a chain of nucleotides with the digit sequence $(d_{2,j} \oplus d_{3,j})$
- 5: U_3 is a chain of nucleotides with the digit sequence $(d_{3,j} \oplus d_{0,j})$
- 6: $V_0 = \text{MultBy2}(U_0)$
- 7: $V_1 = \text{MultBy2}(U_1)$
- 8: $V_2 = \text{MultBy2}(U_2)$
- 9: $V_3 = \text{MultBy2}(U_3)$
- 10: term is a chain of nucleotides with the digit sequence $(d_{0,j} \oplus d_{1,j} \oplus d_{2,j} \oplus d_{3,j})$
- 11: $(S_{0,j} \oplus_{DNA} \text{term}) \oplus_{DNA} V_0$
- 12: $(S_{1,j} \oplus_{DNA} \text{term}) \oplus_{DNA} V_1$
- 13: $(S_{2,j} \oplus_{DNA} \text{term}) \oplus_{DNA} V_2$
- 14: $(S_{3,j} \oplus_{DNA} \text{term}) \oplus_{DNA} V_3$
- 15: **end for**

End

۶-۱-۳ افزودن کلید چرخه

برای ساخت کلید چرخه الگوریتم پیشنهادی می‌توان فرض کرد که f_i و g_i بصورت تصادفی از مجموعه‌های $\{A, G\}$ و $\{C, T\}$ به ترتیب انتخاب می‌شوند، یعنی $f_i = A$ یا $f_i = G$ با احتمال برابر (به طور مشابه، $g_i = C$ یا $g_i = T$ با احتمال‌های برابر)، فرض کنید که $r = (e_{255} \dots e_1 e_0)_2$. $i = 0, 1, \dots, 255$ در الگوریتم پیشنهادی می‌باشد. تابع $L(r)$ به عنوان $L(r) = x_{255} \dots x_1 x_0$ تعریف شده، که

$$x_i = \begin{cases} f_i & \text{if } x_i = 0 \\ g_i & \text{if } x_i = 1 \end{cases} \quad (8)$$

بنابراین اگر $n = (10, 12, 14)$ باشد و r_0, r_1, \dots, r_{n-1} استفاده از الگوریتم توسعه کلید می‌توان کلید چرخه را ایجاد کرد، سپس این کلیدهای چرخه را می‌توان برای ایجاد کلیدهای چرخه دور الگوریتم پیشنهادی $L(r_0), L(r_1), \dots, L(r_{n-1})$ استفاده کرد.

۴ تحلیل و ارزیابی الگوریتم پیشنهادی

برای شبیه‌سازی، ارزیابی الگوریتم پیشنهادی و مقایسه با سامانه‌های رمزنگاری تصویر مورد مطالعه، بایستی از یک سری تصویر اصلی استاندارد با اندازه 256×256 واقع در پایگاه داده تصویری USC-SIPI که در دسترس همگان است، استفاده شود. بدین علت که ارزیابی‌های صورت گرفته قابل سنجش و تحقیق توسط محققین دیگر نیز باشد. شکل ۱، تصاویر پنتاگون، ساعت،

در مرحله درهم‌ریزی ستون‌ها، چهار بایت از هر ستون حالت با استفاده از تبدیل خطی معکوس ترکیب می‌شوند. تابع درهم‌ریزی ستون‌ها چهار بایت را به عنوان ورودی در نظر می‌گیرد و چهار بایت را به خروجی می‌دهد، که هر بایت ورودی بر هر چهار بایت خروجی تأثیر می‌گذارد.

به صورت کلی‌تر، هر ستون به عنوان یک چند جمله‌ای روی $GF(2^8)$ تلقی می‌شود. در هم‌ریزی ستون در حالت ورودی S می‌تواند پس از ضرب ماتریس، که در آن اضافه و ضرب در $GF(2^8)$ انجام می‌شود، رخ دهد که طبق رابطه (۵) خواهد بود. فرض کنید Z یک شاخص از یک ستون باشد. سپس خروجی در هم‌ریزی ستون‌ها را می‌توان با استفاده از عمل یای انحصاری به صورت رابطه (۶) بیان کرد.

$$\begin{bmatrix} S'_{0,0} & S'_{0,1} & S'_{0,2} & S'_{0,3} \\ S'_{1,0} & S'_{1,1} & S'_{1,2} & S'_{1,3} \\ S'_{2,0} & S'_{2,1} & S'_{2,2} & S'_{2,3} \\ S'_{3,0} & S'_{3,1} & S'_{3,2} & S'_{3,3} \end{bmatrix} \times \begin{bmatrix} S_{0,0} & S_{0,1} & S_{0,2} & S_{0,3} \\ S_{1,0} & S_{1,1} & S_{1,2} & S_{1,3} \\ S_{2,0} & S_{2,1} & S_{2,2} & S_{2,3} \\ S_{3,0} & S_{3,1} & S_{3,2} & S_{3,3} \end{bmatrix} \quad (5)$$

$$= \begin{bmatrix} 2 & 3 & 1 & 1 \\ 1 & 2 & 3 & 1 \\ 1 & 1 & 2 & 3 \\ 3 & 1 & 1 & 2 \end{bmatrix}$$

$$\begin{cases} S'_{0,j} = 2S_{0,j} \oplus 3S_{1,j} \oplus S_{2,j} \oplus S_{3,j} \\ S'_{1,j} = S_{0,j} \oplus 2S_{1,j} \oplus 3S_{2,j} \oplus S_{3,j} \\ S'_{2,j} = S_{0,j} \oplus S_{1,j} \oplus 2S_{2,j} \oplus 3S_{3,j} \\ S'_{3,j} = 3S_{0,j} \oplus S_{1,j} \oplus S_{2,j} \oplus 2S_{3,j} \end{cases} \quad (6)$$

فرض کنید $temp = S_{0,j} \oplus S_{1,j} \oplus S_{2,j} \oplus S_{3,j}$. پس رابطه (۷) بازنویسی می‌شود.

$$\begin{cases} S'_{0,j} = S_{0,j} \oplus temp \oplus 2(S_{0,j} \oplus S_{1,j}) \\ S'_{1,j} = S_{1,j} \oplus temp \oplus 2(S_{1,j} \oplus S_{2,j}) \\ S'_{2,j} = S_{2,j} \oplus temp \oplus 2(S_{2,j} \oplus S_{3,j}) \\ S'_{3,j} = S_{3,j} \oplus temp \oplus 2(S_{3,j} \oplus S_{0,j}) \end{cases} \quad (7)$$

الگوریتم ۶ و ۷ گام درهم‌ریزی ستون‌ها را شرح می‌دهد.

Algorithm 6 MultBy2 (Multiplication by 2 in $GF(2^8)$)

Input: S is a chain of 8 nucleotides with the digit sequence $(e_7 e_6 e_5 e_4 e_3 e_2 e_1 e_0)_2$

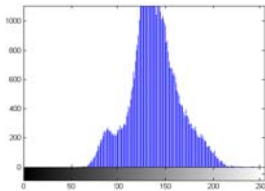
Output: $S' = 2S$.

Begin

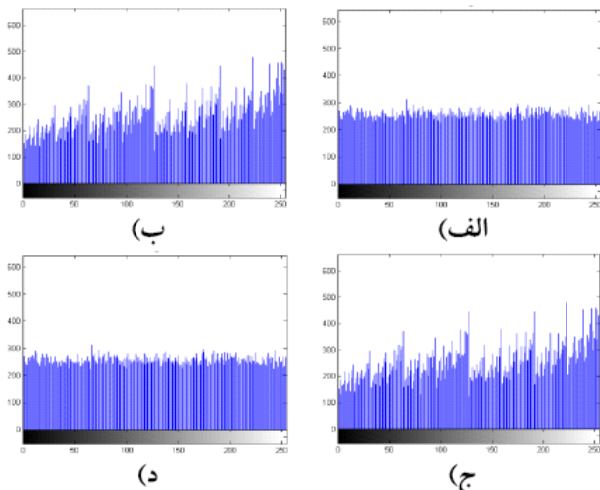
- 1: **if** $e_7 = 0$ **then**
 - 2: create a chain of nucleotides S' with the digit sequence $(e_7 e_6 e_5 e_4 e_3 e_2 e_1 e_0)_2$
 - 3: **else**
 - 4: create a chain of nucleotides S' with the digit sequence $(e_7 e_6 e_5 e_4 e_3 e_2 e_1 e_0)_2 \oplus (00011011)_2$
 - 5: **end if**
- End**

۲-۴ هیستوگرام

تحلیل هیستوگرام چگونگی توزیع پیکسل‌ها در تصویر را با استفاده از ترسیم تعداد مشاهدات هر میزان شدت روشنایی، بیان می‌کند. توزیع یکنواخت هیستوگرام تصویر می‌تواند نشان‌دهنده کیفیت خوب روش رمزنگاری باشد [۲۱].



شکل ۲: هیستوگرام تصویر اصلی پنتاگون



شکل ۳: هیستوگرام تصاویر رمزگذاری شده پنتاگون

شکل ۲ هیستوگرام تصویر اصلی پنتاگون را نشان می‌دهد. در شکل ۳ الف) هیستوگرام تصویر رمزگذاری شده پنتاگون بوسیله الگوریتم پیشنهادی، ب) هیستوگرام تصویر رمزگذاری شده پنتاگون بوسیله مرجع [۱۰]، ج) هیستوگرام تصویر رمزگذاری شده پنتاگون بوسیله مرجع [۱۱] و د) هیستوگرام تصویر رمزگذاری شده پنتاگون بوسیله مرجع [۱۲] نشان داده شده است. با مقایسه شکل ۳، مشخص است که تصاویر رمزگذاری شده نسبت به تصاویر اصلی کاملاً متمایز هستند و به نظر دارای توزیع پیکسلی تصادفی یکنواخت می‌باشند. در انتها می‌توان نتیجه گرفت، تصاویر رمزگذاری شده بوسیله الگوریتم پیشنهادی و مرجع [۱۲] توزیع پیکسلی یکنواخت‌تری دارند؛ پس از دیگر الگوریتم‌ها موفق‌تر عمل کرده‌اند.

۳-۴ تمایز بین تصویر اصلی و تصویر رمزگذاری شده

به طور کلی یک خاصیت ایده‌آل برای یک تصویر رمزگذاری شده، حساس بودن نسبت به تغییرات جزئی در تصویر اصلی، یعنی فقط تغییر یک پیکسل می‌باشد. برای آزمودن اثر تغییر یک پیکسل ورودی بر روی تمام تصویر رمزگذاری شده، چهار معیار رایج،

کشتی، هواپیما، لنا، بابون و تانک را نشان می‌دهد که برای رمزنگاری استفاده شده‌اند [۱۹].



شکل ۱: تصاویر مورد استفاده برای رمزنگاری

جهت ارزیابی یک طرح رمزنگاری تصویر، تعدادی آزمون و روش ارزیابی استاندارد وجود دارد که در ادامه به آنها پرداخته خواهد شد.

۱-۴ آنتروپی

آنتروپی به معنای میزان بی‌نظمی و عدم قطعیت در یک سامانه فیزیکی می‌باشد. آنتروپی یک تصویر، تخمینی از تصادفی بودن آن می‌باشد که به طور معمول برای سنجش میزان تیزی قله‌های هیستوگرام استفاده می‌شود. آنتروپی شانون $H(s)$ یک منبع پیام s طبق رابطه (۹) محاسبه می‌شود [۲۰].

$$H(s) = \sum_{i=0}^{2^N-1} P(s_i) \log_2 \frac{1}{P(s_i)} \quad (9)$$

در رابطه (۹)، $P(s_i)$ معرف احتمال سمبل s_i می‌باشد. هنگامیکه تصویر رمزگذاری می‌شود، آنتروپی آن بایستی نزدیک به مقدار ایده‌آل ۸ باشد. اگر آنتروپی کمتر از ۸ باشد، یک میزان معینی از پیش‌بینی‌پذیری پدید می‌آید که امنیت سامانه را تهدید می‌کند. جدول ۴، نتایج تحلیل آنتروپی مربوط به الگوریتم‌های مورد مطالعه را نشان می‌دهد.

جدول ۴: آنتروپی تصاویر رمزگذاری شده

تصویر	کشتی	تانک	هواپیما	ساعت	پنتاگون	لنا	بابون
الگوریتم پیشنهادی	۷/۹	۷/۹۲	۷/۹۷	۷/۹۱	۷/۹۵	۷/۹۱	۷/۹۹
مرجع [۱۰]	۷/۶۸	۷/۵۹	۷/۴	۷/۳۶	۷/۱۴	۷/۲	۷/۲۵
مرجع [۱۱]	۷/۷۵	۷/۶۳	۷/۵۵	۷/۵۸	۷/۴۲	۷/۳۵	۷/۵۳
مرجع [۱۲]	۷/۸۶	۷/۸۸	۷/۸	۷/۸۴	۷/۶	۷/۴۶	۷/۶۱

طبق جدول ۴، مقادیر بدست آمده نزدیک به مقدار ایده‌آل ۸ هستند؛ این بدین معنی است که در روند رمزنگاری، نشت اطلاعات بسیار ناچیز می‌باشد؛ ولی الگوریتم پیشنهادی بدلیل آنکه مقادیر آنتروپی به دست آمده‌اش به ۸ بیشتر نزدیک‌تر است، در این آزمون از دیگر الگوریتم‌ها موفق‌تر بوده است.

جدول ۵: میانگین خطای مطلق

بایون	لنا	پنتاگون	ساعت	هواپیما	تانک	کشتی	تصویر
۲۱	۱۶,۹	۲۸,۱	۱۵	۹,۵	۳۱,۱	۳۵	الگوریتم پیشنهادی
۱۷	۱۳	۲۴,۸۹	۱۲,۶	۸	۲۸	۳۲,۳	مرجع [۱۰]
۱۸,۱	۱۵	۲۶	۱۳,۹	۸,۴	۳۰,۲	۳۳,۸	مرجع [۱۱]
۱۹,۸	۱۵,۵	۲۷,۳	۱۴	۸,۹۹	۳۰,۹	۳۴	مرجع [۱۲]

جدول ۶: تعداد نرخ تغییرات پیکسل‌ها

بایون	لنا	پنتاگون	ساعت	هواپیما	تانک	کشتی	تصویر
۹۹,۹%	۹۹,۸%	۹۹,۷%	۹۹,۸%	۹۹,۸%	۹۹,۷%	۹۹,۹%	الگوریتم پیشنهادی
۹۹,۵%	۹۹,۵%	۹۹,۵%	۹۹,۵%	۹۹,۵%	۹۹,۵%	۹۹,۵%	مرجع [۱۰]
۹۹,۵%	۹۹,۶%	۹۹,۵%	۹۹,۷%	۹۹,۶%	۹۹,۵%	۹۹,۶%	مرجع [۱۱]
۹۹,۸%	۹۹,۷%	۹۹,۶%	۹۹,۷%	۹۹,۶%	۹۹,۶%	۹۹,۷%	مرجع [۱۲]

نتایج تعداد نرخ تغییرات پیکسل‌های الگوریتم‌های مورد مطالعه در جدول ۶ ثبت شده است. در الگوریتم‌ها، $NPCR > 99.5\%$ می‌باشد. به دلیل آنکه تعداد نرخ تغییرات پیکسل‌های الگوریتم پیشنهادی بزرگتر است، پس در این آزمون موفق‌تر بوده است.

جدول ۷: میانگین یکپارچه تغییر شدت

بایون	لنا	پنتاگون	ساعت	هواپیما	تانک	کشتی	تصویر
۳۳,۶%	۳۳,۸%	۳۳,۹%	۳۳,۹%	۳۳,۸%	۳۳,۷%	۳۳,۶%	الگوریتم پیشنهادی
۳۳,۴%	۳۳,۴%	۳۳,۵%	۳۳,۴%	۳۳,۵%	۳۳,۴%	۳۳,۴%	مرجع [۱۰]
۳۳,۴%	۳۳,۵%	۳۳,۵%	۳۳,۵%	۳۳,۵%	۳۳,۴%	۳۳,۴%	مرجع [۱۱]
۳۳,۵%	۳۳,۶%	۳۳,۵%	۳۳,۶%	۳۳,۶%	۳۳,۶%	۳۳,۵%	مرجع [۱۲]

نتایج میانگین یکپارچه تغییر شدت الگوریتم‌های مورد مطالعه در جدول ۷ ثبت شده است. در الگوریتم‌ها، $UACI > 33.4\%$ می‌باشد. با مقایسه نتایج حاصل می‌توان نتیجه گرفت، الگوریتم پیشنهادی بهتر عمل کرده است. نتایج محتوا ساختاری الگوریتم‌های مورد مطالعه در جدول ۸ ثبت شده است. نتایج به دست آمده نشان می‌دهد که مقادیر محتوا ساختاری الگوریتم‌ها به ۱ نزدیک می‌باشند. بدلیل آنکه مقادیر محتوا ساختاری الگوریتم پیشنهادی به ۱ بیشتر نزدیک است؛ پس در این سنسجش بهتر عمل کرده است.

جدول ۸: محتوا ساختاری

بایون	لنا	پنتاگون	ساعت	هواپیما	تانک	کشتی	تصویر
۱	۱/۱	۰/۹۸	۱/۴	۱/۲	۰/۹	۰/۹۴	الگوریتم پیشنهادی
۰/۷۵	۰/۳	۰/۶۹	۱/۷	۱/۹	۰/۵۹	۰/۷	مرجع [۱۰]
۰/۸	۰/۷	۰/۷۵	۱/۶	۱/۷	۰/۶۲	۰/۷۸	مرجع [۱۱]
۰/۹	۰/۸	۰/۸۳	۱/۳	۱/۵	۰/۷۷	۰/۸	مرجع [۱۲]

۴-۴ تصادفی بودن

امروزه، روش‌های آزمون آماری بسیاری جهت ارزیابی تصادفی بودن خروجی سامانه رمزنگاری وجود دارد که هر یک حضور یا عدم حضور یک الگوی مشخص را در خروجی سامانه رمزنگاری

میانگین خطای مطلق^۷، تعداد نرخ تغییرات پیکسل‌ها^۸، میانگین یکپارچه تغییر شدت^۹ و محتوا ساختاری^{۱۰} استفاده می‌گردد. میانگین خطای مطلق، متوسط خطای مطلق می‌باشد. تعداد نرخ تغییرات پیکسل‌ها، نرخ تعداد پیکسل‌های تغییر یافته است. میانگین یکپارچه تغییر شدت، متوسط‌گیری روی تغییرات شدت روشنایی به صورت یکپارچه که در آن متوسط اختلافات شدت روشنایی دو تصویر اصلی و تصویر رمزگذاری شده سنجیده می‌شود. فرض کنید $C(i, j)$ و $P(i, j)$ به ترتیب نشان‌دهنده سطح خاکستری پیکسل‌های تصویر رمزگذاری شده و اصلی باشد و H ارتفاع و W عرض تصویر می‌باشد، طوری که $0 \leq i \leq H - 1$ و $0 \leq j \leq W - 1$. میانگین خطای مطلق بین دو تصویر طبق رابطه (۱۱) محاسبه می‌شود [۲۲].

$$MAE = \frac{1}{H \times W} \sum_{i=0}^{H-1} \sum_{j=0}^{W-1} |C(i, j) - P(i, j)| \quad (11)$$

دو تصویر رمزگذاری شده C و \bar{C} را در نظر بگیرید که تصاویر اصلی متناظر آنها فقط در یک پیکسل متمایزند. تعداد نرخ تغییرات پیکسل‌ها این دو تصویر طبق رابطه (۱۲) محاسبه می‌شود [۲۲].

$$NPCR = \frac{\sum_{i=0}^{H-1} \sum_{j=0}^{W-1} D(i, j)}{H \times W} \times 100\% \quad (12)$$

$$D(i, j) = \begin{cases} 0, & \text{if } C(i, j) = \bar{C}(i, j) \\ 1, & \text{if } C(i, j) \neq \bar{C}(i, j) \end{cases}$$

معیار دیگر میانگین یکپارچه تغییر شدت است که رابطه (۱۳) محاسبه می‌شود [۲۲].

$$UACI = \frac{1}{H \times W} \times \sum_{i=0}^{H-1} \sum_{j=0}^{W-1} \left[\frac{|C(i, j) - P(i, j)|}{255} \right] \times 100\% \quad (13)$$

معیار دیگر محتوا ساختاری می‌باشد. این معیار از تقسیم مجموع مقدار مربع پیکسل تصویر اصلی $f(i, j)$ بر مجموع مقدار مربع پیکسل تصویر رمزگشایی شده $f'(i, j)$ به دست می‌آید. اگر در تصاویر رمزگشایی شده هیچگونه اعوجاج وجود نداشته باشد، محتوا ساختاری برابر با ۱ خواهد بود. محتوا ساختاری طبق رابطه (۱۴) محاسبه می‌شود [۲۲].

$$SC = \frac{\sum_{i=1}^M \sum_{j=1}^N f(i, j)^2}{\sum_{i=1}^M \sum_{j=1}^N f'(i, j)^2} \quad (14)$$

نتایج آزمون میانگین خطای مطلق الگوریتم‌های مورد مطالعه در جدول ۵ ثبت شده است. با مقایسه نتایج حاصل می‌توان نتیجه گرفت، الگوریتم پیشنهادی در این آزمون بهتر عمل کرده است.

⁷ Mean Absolute Error (MAE)

⁸ Number of Pixels Change Rate (NPCR)

⁹ Unified Average Changing Intensity (UACI)

¹⁰ Structural Content (SC)

اگر فضای کلید رمزنگاری بزرگتر از $10^3 \approx 2^{10}$ باشد، می‌توان اطمینان داشت که الگوریتم از فضای کلید رمزنگاری بسیار خوبی بهره‌مند است. پس الگوریتم‌های مورد مطالعه از فضای کلید مناسبی برخوردار می‌باشند. از آنجا که هرچقدر فضای کلید بزرگتر باشد، آن الگوریتم قابل اعتمادتر است؛ پس الگوریتم پیشنهادی با کلید رمزنگاری ۲۵۶ بیتی قابل اعتمادتر می‌باشد.

۴-۶ حساسیت نسبت به کلید

حساسیت نسبت به کلید، یک ویژگی ضروری برای یک سامانه رمزنگاری مطلوب می‌باشد. بدین معنی که تغییر یک بیت در کلید رمزنگاری، بایستی یک تصویر رمزگذاری شده کاملاً متفاوت تولید کند. برای آزمودن میزان حساسیت نسبت به کلید طرح‌های رمزنگاری، تصویر مورد آزمایش یکبار با استفاده از کلید رمزنگاری اصلی و یکبار با استفاده از کلید رمزنگاری که کمی تغییر یافته، رمزگذاری می‌شود [۲۴].

از آنجا که مقایسه دو تصویر از طریق مشاهده کاری دشوار است، لذا برای مقایسه بهتر می‌توان درصد تعداد پیکسل‌های متمایز دو تصویر رمزگذاری شده با کلیدهای متفاوت را محاسبه کرد. هر چه مقدار این محاسبه به ۱۰۰٪ نزدیک‌تر باشد، آنگاه حساسیت نسبت به کلید بیشتر است.

جدول ۱۱: درصد تعداد پیکسل‌های متمایز دو تصویر رمزگذاری شده

تصویر	کشتی	تانک	هواپیما	ساعت	پنتاگون	لنا	بابون
الگوریتم پیشنهادی	۹۹٫۹٪	۹۹٫۷٪	۹۹٫۸٪	۹۹٫۸٪	۹۹٫۷٪	۹۹٫۸٪	۹۹٫۹٪
مرجع [۱۰]	۹۹٫۵٪	۹۹٫۵٪	۹۹٫۵٪	۹۹٫۵٪	۹۹٫۵٪	۹۹٫۵٪	۹۹٫۵٪
مرجع [۱۱]	۹۹٫۶٪	۹۹٫۵٪	۹۹٫۶٪	۹۹٫۷٪	۹۹٫۵٪	۹۹٫۶٪	۹۹٫۵٪
مرجع [۱۲]	۹۹٫۷٪	۹۹٫۶٪	۹۹٫۶٪	۹۹٫۷٪	۹۹٫۶٪	۹۹٫۷٪	۹۹٫۸٪

نتایج مربوط به درصد تعداد پیکسل‌های متمایز دو تصویر رمزگذاری شده توسط الگوریتم‌های مورد مطالعه در جدول ۱۱ ثبت شده‌است. نتایج حاصل، نشان از حساسیت نسبت به کلید الگوریتم‌های مورد مطالعه می‌باشد. به دلیل آنکه الگوریتم پیشنهادی به ۱۰۰٪ نزدیک‌تر می‌باشد، می‌توان نتیجه گرفت که حساسیت بیشتری نسبت به کلید از خود نشان می‌دهد و در این آزمون موفق‌تر بوده‌است.

۴-۷ ماکزیمم نسبت سیگنال به نویز

ماکزیمم نسبت سیگنال به نویز معیاری برای نمایش میزان سیگنال مفید در مقابل سیگنال مزاحم (یا نویز) در سیستم‌های الکتریکی است. این عدد، نسبت توان سیگنال به توان نویز است. در مورد تصاویر، تصویر اصلی به عنوان سیگنال و تصویر رمزگذاری شده به عنوان نویز در نظر گرفته می‌شود. ماکزیمم نسبت سیگنال به نویز طبق رابطه (۱۷) و میانگین خطای مربعات طبق رابطه (۱۸) محاسبه می‌شود [۲۵].

$$PSNR = 20 \times \log_{10} \left(\frac{255}{\sqrt{MSE}} \right) \quad (17)$$

تعیین می‌کند و اگر یک الگو یافت شود می‌توان نتیجه گرفت که دنباله خروجی غیرتصادفی است.

یکنواختی حاصل از یک تابع رمزنگاری تصویر را می‌توان به صورت کمی با استفاده از آزمون مربع کای پیرسون ارزیابی کرد. آزمون مربع کای پیرسون طبق رابطه (۱۵) محاسبه می‌شود [۲۳].

$$\chi^2_{test} = \sum_{k=1}^{256} \frac{(v_k - e_k)^2}{e_k} \quad (15)$$

در رابطه (۱۵)، k تعداد سطح خاکستری (۲۵۶)، v_k تعداد رخدادهای مشاهده هر سطح خاکستری (۰-۲۵۵) و e_k تعداد رخداد مورد انتظار هر سطح خاکستری می‌باشد. به طور مثال، اگر تصویر اصلی دارای ابعاد $W \times H$ باشد آنگاه

$$e_k = \frac{H \times W}{256} \quad (16)$$

اگر $\chi^2_{test} < \chi^2(255, 0.01)$ ، آنگاه نتیجه گرفته می‌شود که توزیع هیستوگرام تصویر رمزگذاری شده یکنواخت می‌باشد.

جدول ۹: آزمون χ^2

تصویر	کشتی	تانک	هواپیما	ساعت	پنتاگون	لنا	بابون
الگوریتم پیشنهادی	۲۶۸	۲۶۷/۴	۲۶۱	۲۸۹/۳	۲۹۹/۲	۲۸۰	۲۷۵
مرجع [۱۰]	۲۶۳	۲۶۶/۳	۲۵۹/۲	۲۸۸/۴	۲۶۸/۸	۲۶۵/۲	۲۵۹/۷
مرجع [۱۱]	۲۶۰	۲۶۲/۷	۲۵۹/۳	۲۸۸/۱	۲۲۸/۶	۲۶۹/۹	۲۶۴/۱
مرجع [۱۲]	۲۵۶/۸	۲۵۷/۵	۲۵۵/۳	۲۷۰/۹	۲۶۱/۵	۲۷۸/۸	۲۷۰/۶

نتایج آزمون مربع کای در جدول ۹ ثبت شده‌است. نتایج به دست آمده از جدول ۹، نشان می‌دهد که $\chi^2_{test} < \chi^2(255, 0.01)$ ، یعنی توزیع هیستوگرام تصویر رمزگذاری شده توسط الگوریتم‌ها یکنواخت می‌باشد. در انتها با مقایسه نتایج حاصل می‌توان نتیجه گرفت، الگوریتم پیشنهادی بهتر عمل کرده‌است.

۴-۵ فضای کلید رمزنگاری

فضای کلید رمزنگاری، تعداد کل کلیدهای مختلفی است که می‌توان در الگوریتم رمزنگاری استفاده کرد [۲۴]. کلید رمزنگاری مراجع [۱۰] تا [۱۲]، شامل پارامترها و مقادیر اولیه سیستم آشوبی می‌باشند. اگر دقت محاسبات 10^{-14} فرض شود، آنگاه فضای کلید رمزنگاری مراجع [۱۰] تا [۱۲] به ترتیب برابر هستند با $10^{14} = (10^{14})^6$ ، $10^{84} = (10^{14})^6$ و $10^{112} = (10^{14})^8$. از آنجا که ۴ نوکلئوتید DNA در کلید رمزنگاری الگوریتم پیشنهادی دخیل هستند، پس $10^{56} = (10^{14})^4$ در فضای کلید رمزنگاری منظور می‌شود. فضای کلید رمزنگاری الگوریتم پیشنهادی در جدول ۱۰ ثبت شده‌است.

جدول ۱۰: فضای کلید رمزنگاری

	۱۲۸ بیتی	۱۹۲ بیتی	۲۵۶ بیتی
الگوریتم پیشنهادی	$10^{56} \times 10^{38}$	$10^{56} \times 10^{57}$	$10^{56} \times 10^{77}$

جدول ۱۴: دقت

بایون	لنا	پنتاگون	ساعت	هواپیما	تانک	کشتی	تصویر
۷۵۰	۶۴۹	۵۴۱	۸۸۶	۳۸۲	۵۳۲	۵۰۸	الگوریتم پیشنهادی
۲۶۸	۴۴۱	۴۶۱	۴۷۲	۲۵۹	۵۲۸	۴۶۴	مرجع [۱۰]
۳۳۹	۵۳۲	۵۰۰	۴۸۰	۲۶۰	۵۱۰	۴۶۵	مرجع [۱۱]
۵۰۰	۵۶۸	۵۰۴	۴۹۸	۲۶۳	۵۰۳	۴۶۸	مرجع [۱۲]

نتایج ماکزیمم انحراف الگوریتم‌های مورد مطالعه در جدول ۱۴ ثبت شده است. نتایج نشان می‌کند که الگوریتم پیشنهادی ماکزیمم انحراف کمتری نسبت به دیگر الگوریتم‌ها دارد، پس دقت فرآیند رمزنگاری آن بهتر می‌باشد.

۹-۴ سرعت

به طور کلی، سرعت رمزنگاری به ساختار پردازنده، اندازه حافظه، زبان برنامه‌نویسی و همچنین نوع کامپایلر وابسته می‌باشد. بنابراین مقایسه سرعت رمزنگاری دو طرح رمزنگاری، بدون استفاده از محیط برنامه‌نویسی یکسان، کاری بیهوده است.

به طور معمول برای افزایش دقت در اندازه‌گیری‌های زمانی، مجموعه تصویر ۱۰ بار رمزنگاری می‌شود، سپس میانگین سرعت رمزنگاری آنها ثبت می‌شود [۲۷]. کارایی الگوریتم‌های مورد مطالعه با استفاده از کد MATLAB بر روی ماشینی با پردازنده Intel Core i5 1.80 GHz و 8 GB of RAM در محیط سیستم عامل ویندوز ۱۰، ارزیابی شد. نتایج این ارزیابی بر حسب ثانیه در جدول ۱۵ ثبت شده است.

جدول ۱۵: سرعت

بایون	لنا	پنتاگون	ساعت	هواپیما	تانک	کشتی	تصویر
۴۶۲	۴۰۰/۵	۴۰۰	۳۹۲/۴	۳۶۰	۳۸۵/۱	۳۷۰/۳	الگوریتم پیشنهادی
۷۰/۵	۶۹/۳	۶۸/۶	۶۸/۴	۵۹/۲	۶۵/۳	۶۲/۵	مرجع [۱۰]
۳۹۰/۲	۳۹۰/۱	۳۹۰/۵	۳۹۰/۵	۳۵۹/۳	۳۷۶/۲	۳۶۳/۱	مرجع [۱۱]
۳۸۸/۱	۳۸۷	۳۸۶/۳	۳۸۶/۳	۳۴۵	۳۶۸/۴	۳۶۱	مرجع [۱۲]

مطابق نتایج ثبت شده در جدول ۱۵، در این آزمون الگوریتم پیشنهادی توانست از دیگر الگوریتم‌ها موفق‌تر عمل نماید.

۱۰-۴ شکست‌ناپذیری

شکست‌ناپذیری به معنای مقاومت در برابر عوامل خارجی می‌باشد. عوامل خارجی می‌توانند حملاتی به منظور دستیابی برای کلید رمزنگاری باشد و یا نویز باشد که بر ساختار و اجرای سامانه رمزنگاری تاثیر می‌گذارد.

۱۰-۱-۴ حمله

در رمزنگاری، کلید رمزنگاری قطعه معلومات یا پارامتری است که به کاربر اجازه دسترسی به اطلاعات را نمی‌دهد. در واقع الگوریتم رمزنگاری با استفاده از کلید رمزنگاری می‌تواند داده‌های رمزگذاری شده را به صورت اولیه درآورد. در زمان طراحی سامانه‌های رمزگذاری، فرض بر این گذاشته می‌شود که جزئیات

$$MSE = \frac{1}{WH} \sum_{i=1}^W \sum_{j=1}^H [I(i,j) - K(i,j)]^2 \quad (18)$$

در رابطه (۱۷)، I نشان‌دهنده مقادیر پیکسل تصویر اصلی، K نشان‌دهنده مقادیر پیکسل تصویر رمزگذاری شده، (i,j) موقعیت پیکسل‌ها، W و H نشان‌دهنده ابعاد تصویر می‌باشند. زمانی می‌توان گفت سامانه رمزنگاری موفق عمل کرده است که تصویر رمزگذاری شده دارای مقدار میانگین خطای مربعات زیاد و ماکزیمم نسبت سیگنال به نویز کم باشد؛ در واقع مقدار کم ماکزیمم نسبت سیگنال به نویز نشان‌دهنده تفاوت بیشتر بین تصویر اصلی و تصویر رمزگذاری شده می‌باشد.

جدول ۱۲: میانگین خطای مربعات

بایون	لنا	پنتاگون	ساعت	هواپیما	تانک	کشتی	تصویر
۱۳۲	۱۳۰/۷	۱۲۷/۴	۱۷۵	۱۸۲	۱۲۹/۷	۱۲۹	الگوریتم پیشنهادی
۱۲۶	۱۲۲	۱۲۱/۷	۱۵۶	۱۶۹/۱	۱۲۱	۱۱۵/۹	مرجع [۱۰]
۱۲۶/۸	۱۲۶	۱۲۴/۴	۱۶۰	۱۷۲/۲	۱۲۱/۸	۱۲۴/۵	مرجع [۱۱]
۱۲۷/۹	۱۲۸/۱	۱۲۶/۹	۱۶۸	۱۷۷	۱۲۵/۶	۱۲۶	مرجع [۱۲]

جدول ۱۳: ماکزیمم نسبت سیگنال به نویز

بایون	لنا	پنتاگون	ساعت	هواپیما	تانک	کشتی	تصویر
۲۷	۲۸/۵	۲۴	۲۶/۶	۲۵	۲۷/۲	۳۰	الگوریتم پیشنهادی
۲۹/۵	۳۰/۳	۲۸/۳	۲۹/۱	۲۸/۶	۲۹/۱	۳۶	مرجع [۱۰]
۲۹/۲	۳۰/۱	۲۷/۷	۲۸/۴	۲۷/۹	۲۸/۵	۳۵/۳	مرجع [۱۱]
۲۸/۱	۲۹	۲۵/۵	۲۷	۲۶/۳	۲۸	۳۲	مرجع [۱۲]

نتایج میانگین خطای مربعات و ماکزیمم نسبت سیگنال به نویز تصاویر رمزگذاری شده توسط الگوریتم‌ها در جداول ۱۲ و ۱۳ ثبت شده است. با مقایسه نتایج، می‌توان نتیجه گرفت که الگوریتم پیشنهادی بهتر عمل کرده است.

۸-۴ دقت

دقت فرآیند رمزنگاری، بوسیله ماکزیمم کردن انحراف بین نتایج رمزنگاری با تصویر اصلی محاسبه می‌گردد. نخست، نمودار هیستوگرام که نشان‌دهنده توزیع تصویر رمزنگاری شده و تصویر اصلی سطح خاکستری است، تولید شده و سپس تعداد پیکسل‌های هر مقدار مقیاس خاکستری در بازه ۰ تا ۲۵۵ شمرده می‌شود. دوم، اختلاف بین دو مقدار حاصل محاسبه می‌شود. در انتها، سطح زیر منحنی با اضافه کردن این مقادیر به سادگی اندازه گرفته می‌شود. مجموع انحراف D طبق رابطه (۱۹) محاسبه می‌شود [۲۶].

$$D = \frac{h_0 + h_{255}}{2} + \sum_{i=1}^{254} h_i \quad (19)$$

در رابطه (۱۹)، h_i ماکزیمم جابجایی بین دو منحنی در مقدار i است. هرچه مقدار D بیشتر (مثبت یا منفی) باشد، تصویر رمزگذاری شده از تصویر اصلی دورتر خواهد بود.

می‌باشد. از آنجا که فضای کلید رمزنگاری مراجع [۱۰] تا [۱۲]، به ترتیب برابر هستند با $10^{14} = (10^{14})^6$ ، $10^{84} = (10^{14})^6$ و $10^{112} = (10^{14})^8$ ؛ در نتیجه الگوریتم پیشنهادی به دلیل داشتن فضای کلید رمزنگاری بزرگتر نسبت به دیگر الگوریتم‌ها، بیشتر در برابر حمله جستجوی جامع از خود مقاومت نشان می‌دهد.

حمله تفاضلی

در حمله تفاضلی، مهاجم تلاش می‌کند که با ایجاد تغییرات جزئی در تصویر ورودی، تغییرات حاصل در تصویر رمزگذاری شده را مشاهده کند. با این روش، رابطه معنی‌دار بین تصویر اصلی و تصویر رمزگذاری شده آشکار می‌شود که این عمل خود منجر به تسهیل در تشخیص و شناسایی کلید رمزنگاری می‌شود [۳۰]. برای آزمودن اثر تغییر یک پیکسل ورودی بر روی تمام تصاویر رمزگذاری شده به وسیله الگوریتم‌های مورد مطالعه، معیارهای تعداد نرخ تغییرات پیکسل‌ها و میانگین یکپارچه تغییر شدت (در بخش ۳-۴ کامل شرح داده شده‌است) استفاده می‌گردد. با توجه به جداول ۶ و ۷، می‌توان نتیجه گرفت که الگوریتم پیشنهادی در برابر حمله تفاضلی مقاومت بیشتری نسبت به دیگر الگوریتم‌ها از خود نشان می‌دهد.

حمله متن اصلی مشخص و حمله متن اصلی منتخب

در حمله متن اصلی مشخص، مهاجم دارای نمونه‌هایی از متن اصلی و نسخه رمزگذاری شده آن (متن رمزگذاری شده) است [۳۱].

در حمله متن اصلی منتخب، فرض می‌شود حمله‌کننده قابلیت انتخاب دلخواه پیام اصلی را دارد و می‌تواند پیام رمزگذاری شده مربوط به آن را به دست آورد [۳۱]. هدف حمله به دست آوردن اطلاعات بیشتری است که می‌تواند امنیت طرح‌های رمزنگاری را کاهش دهد. در بدترین حالت حمله می‌تواند کلید رمزنگاری طرح را فاش نماید.

برای بررسی مقاومت سامانه رمزنگاری نسبت به حمله متن اصلی مشخص و حمله متن اصلی منتخب می‌توان حساسیت نسبت به کلید را بررسی کرد (در بخش ۴-۶ شرح داده شده‌است). با بررسی جدول ۱۱، می‌توان نتیجه گرفت که الگوریتم پیشنهادی حساسیت بیشتری نسبت به کلید رمزنگاری دارد و مقاومت بهتری نسبت به دیگر الگوریتم‌ها در برابر حملات متن اصلی مشخص و متن اصلی منتخب از خود نشان می‌دهد.

۲-۱۰-۴ نويز

نويز به سیگنالی ناخواسته گفته می‌شود که بر سیگنال‌های دیگر اثر نامطلوب می‌گذارد؛ اما در علم پردازش تصویر، نويز به اختلالات ناخواسته به وجود آمده روی تصویر گفته می‌شود؛ به گونه‌ای که بر روی کیفیت تصویر تاثیر منفی می‌گذارد [۳۲].

الگوریتم رمزنگاری برای نفوذگر مشخص است. بر اساس این تلقی که به آن اصل Kerckhoffs گفته می‌شود، تنها مخفی بودن کلید رمزنگاری است که امنیت را تأمین می‌کند [۲۸]. تاریخچه رمزنگاری نیز نشان می‌دهد که تلاش برای مخفی نگاه داشتن الگوریتم‌های رمزنگاری با کاربرد گسترده، با دشواری زیادی همراه است. در مقابل، مخفی نگاه داشتن کلید رمزنگاری آسان‌تر است، چون کلید رمزنگاری قطعه کوچکی از اطلاعات است که در صورت لو رفتن به سادگی قابل تغییر است (برخلاف الگوریتم رمزنگاری که تغییر آن آسان نیست). امنیت هر الگوریتم رمزنگاری مستقیماً به پیچیده بودن اصولی مربوط است که الگوریتم بر اساس آن بنا شده‌است؛ اما اساساً امنیت رمزنگاری بر اساس پنهان ماندن کلید رمزنگاری و نه الگوریتم مورد استفاده است.

هر چیزی که مکانیزم امنیت سیستم را دور زده و باعث تخریب گردد را حمله گویند. در بیشتر انواع حمله، مهاجم تمام کلیدهای رمزنگاری ممکن را تولید و روی متن رمزگذاری شده اعمال می‌کند تا در نهایت یکی از آنها نتیجه درستی دهد. تمام الگوریتم‌های رمزنگاری در برابر این نوع حمله آسیب‌پذیر هستند، اما با استفاده از کلیدهای رمزنگاری طولانی‌تر، می‌توان کار را برای حمله‌کننده مشکل‌تر کرد.

حملات مرسوم به سامانه رمزنگاری تصویر عبارتند از حمله جستجوی جامع، حمله تفاضلی، حمله متن اصلی مشخص، حمله متن اصلی منتخب. در ادامه به این حملات پرداخته می‌شود.

حمله جستجوی جامع

در رمزنگاری، حمله جستجوی جامع یا حمله غیرهوشمندانه، حمله‌ای است که در آن تمام حالات ممکن تا رسیدن به جواب بررسی می‌گردد [۲۹].

برای هر الگوی رمزنگاری می‌توان زمان لازم برای آزمودن کلیه حالات ممکن برای کلید رمزنگاری را محاسبه نمود و معمولاً الگوهای رمزنگاری آنچنان طراحی می‌شوند که آزمودن تمامی حالات ممکن در یک زمان قابل قبول غیرممکن یا غیرمؤثر باشد.

طول کلید رمزنگاری، تعیین‌کننده قابل اجرا بودن حمله جستجوی جامع برای رمزگشایی می‌باشد. افزایش طول کلید رمزنگاری می‌تواند استفاده از این روش را به صورت نامایی سخت‌تر کند. کلیدهای رمزنگاری که به صورت دلخواه، بی‌معنا یا گمراه‌کننده انتخاب شوند، می‌توانند کاربرد این حمله را به شدت دشوارتر کنند. بدیهی است که جهت جلوگیری از حمله جستجوی جامع، فضای کلید الگوریتم رمزنگاری بایستی به اندازه کافی بزرگ باشد. اگر برای مهاجم آزمون کردن کلیه کلیدهای رمزنگاری ممکن با استفاده از کامپیوترهای مدرن بسیار زمان‌بر باشد، به طور مثال چندین دهه، آنگاه می‌توان گفت که الگوریتم رمزنگاری نسبت به حمله جستجوی جامع از نظر محاسباتی امن می‌باشد.

همانطور که در بخش ۴-۵ توضیح داده شد، فضای کلید رمزنگاری الگوریتم پیشنهادی با کلید رمزنگاری ۲۵۶ بیتی، 10^{133}

در انتها بعد از بررسی نتایج مربوط به حملات و نویزها می توان نتیجه گرفت، الگوریتم پیشنهادی شکست ناپذیر است یا به عبارت دیگر در برابر عوامل خارجی نسبت به مراجع [۱۰] تا [۱۲]، مقاومت بیشتری از خود نشان می دهد.



شکل ۵: تصویر اصلی پنتاگون حاوی نویز گاوسی

جدول ۱۸: میانگین خطای مربعات

تصویر	کشتی	تانک	هواپیما	ساعت	پنتاگون	لنا	بابون
الگوریتم پیشنهادی	۱۴۰	۱۳۹,۷	۱۹۲	۱۷۵	۱۳۷/۴	۱۳۰,۷	۱۳۹
مراجع [۱۰]	۱۱۵,۹	۱۲۱	۱۶۹,۱	۱۵۶	۱۲۱,۷	۱۲۲	۱۲۶
مراجع [۱۱]	۱۳۴,۵	۱۲۱,۸	۱۸۲,۸	۱۶۰	۱۳۴,۴	۱۲۶	۱۲۶,۸
مراجع [۱۲]	۱۳۶	۱۳۵,۶	۱۹۷	۱۶۸	۱۳۶,۹	۱۲۸,۱	۱۲۷,۹

جدول ۱۹: ماکزیمم نسبت سیگنال به نویز

تصویر	کشتی	تانک	هواپیما	ساعت	پنتاگون	لنا	بابون
الگوریتم پیشنهادی	۳۱	۲۷/۹	۲۵	۲۱/۶	۲۸/۳	۲۸/۵	۲۷
مراجع [۱۰]	۳۸	۲۹/۱	۲۸/۶	۲۹/۱	۳۸/۳	۳۰/۳	۲۹/۵
مراجع [۱۱]	۳۶/۳	۲۸/۵	۲۷/۹	۲۵/۴	۳۷/۷	۳۰/۱	۲۸/۴
مراجع [۱۲]	۳۴	۲۸	۲۶/۳	۲۳	۳۲/۵	۲۹	۲۸/۱

۵ نتیجه گیری

امروزه، برای رمزنگاری تصویر الگوهای متنوعی پیشنهاد شده است که در این میان، ترکیب الگوریتم های رمزنگاری با دنباله DNA از محبوبیت ویژه ای برخوردار می باشد. در این مقاله نیز الگوریتمی بصورت ترکیب الگوریتم استاندارد رمزنگاری پیشرفته و دنباله DNA پیشنهاد شده است.

الگوریتم پیشنهادی شامل ۶ گام می باشد. در گام اول، نشان داده می شود که چگونه داده های دودویی بدون تغییر آمینواسیدهای یک پروتئین، به DNA تبدیل می شود. در گام دوم عملیات یای انحصاری بین دو رشته DNA مطرح می شود. در گام سوم، چهارم، پنجم و ششم به ترتیب جانشین سازی بایت ها، جابجاسازی سطرها، درهم ریزی ستون ها و افزودن کلید چرخه بررسی شده است. در گام سوم، براساس جدول جستجو، بایتی که قرار است در آرایه حالت جایگزین شود، پیدا می شود. در گام چهارم، بایت های هر سطر آرایه حالت به وسیله یک آفست معین به صورت چرخشی شیفتم می یابد. در گام پنجم، چهار بایت از هر ستون حالت با استفاده از تبدیل خطی معکوس ترکیب می شوند. در انتها در گام ششم، کلید چرخه مشخص می شود.

نویز، ذاتا ماهیتی تصادفی یا اتفاقی دارد، بنابراین در بررسی آن از مفاهیم آمار و احتمال استفاده می شود. به منظور بررسی میزان تاثیر نویز در تصویر از معیارهای ماکزیمم نسبت سیگنال به نویز و میانگین خطای مربعات استفاده می شود.

نویز نمک و فلفل

اگر تصویری دارای نویز نمک و فلفل باشد، آنگاه نقاط سیاه و سفیدی در اکثر نقاط تصویر خواهد افتاد. این نقاط سیاه و سفید بر روی پیکسل های تصویر اصلی می افتند و کیفیت تصویر اصلی را پایین می آورند [۳۲]. شکل ۴، نویز نمک و فلفل با تراکم نویز ۰/۰۲ برای تصویر اصلی پنتاگون (شکل ۱) را نشان می دهد.



شکل ۴: تصویر اصلی پنتاگون حاوی نویز نمک و فلفل

جدول ۱۶: میانگین خطای مربعات

تصویر	کشتی	تانک	هواپیما	ساعت	پنتاگون	لنا	بابون
الگوریتم پیشنهادی	۱۲۸	۱۲۶,۷	۱۸۹	۱۷۵	۱۲۹/۴	۱۳۰,۷	۱۳۲
مراجع [۱۰]	۱۱۲,۹	۱۲۰	۱۶۹,۱	۱۵۶	۱۲۱,۷	۱۲۵	۱۲۶
مراجع [۱۱]	۱۲۰,۵	۱۲۱,۸	۱۷۰,۲	۱۶۰	۱۲۴,۴	۱۲۶	۱۲۶,۸
مراجع [۱۲]	۱۲۶	۱۲۵,۱	۱۸۲	۱۶۸	۱۲۶,۹	۱۲۹,۱	۱۲۷,۹

جدول ۱۷: ماکزیمم نسبت سیگنال به نویز

تصویر	کشتی	تانک	هواپیما	ساعت	پنتاگون	لنا	بابون
الگوریتم پیشنهادی	۳۱	۲۷/۲	۲۴	۲۶/۶	۲۳	۲۸/۵	۲۷
مراجع [۱۰]	۳۶	۲۹/۱	۲۸/۶	۲۸/۸	۲۸/۳	۳۰/۹	۲۹/۵
مراجع [۱۱]	۳۴/۳	۲۸/۵	۲۷/۹	۲۸/۱	۲۷/۷	۳۰/۱	۲۹/۲
مراجع [۱۲]	۳۲	۲۸	۲۶/۳	۲۷	۲۵/۵	۲۹	۲۸/۱

نتایج میانگین خطای مربعات و ماکزیمم نسبت سیگنال به نویز تصاویر رمزگذاری شده حاوی نویز نمک و فلفل در جداول ۱۶ و ۱۷ ثبت شده است. با مقایسه نتایج، می توان نتیجه گرفت که نویز نمک و فلفل تاثیر کمتری بر الگوریتم پیشنهادی دارد.

نویز گاوسی

نویز گاوسی باعث می شود تصاویر کم رنگ و تار به نظر برسند [۳۲]. شکل ۵، نویز گاوسی با میانگین ۰/۰۲ برای تصویر اصلی هواپیما (شکل ۱) را نشان می دهد.

نتایج میانگین خطای مربعات و ماکزیمم نسبت سیگنال به نویز تصاویر رمزگذاری شده حاوی نویز گاوسی در جداول ۱۸ و ۱۹ ثبت شده است. با مقایسه نتایج، می توان نتیجه گرفت که نویز گاوسی تاثیر کمتری بر الگوریتم پیشنهادی دارد.

- images based on chaotic maps and DNA complementary rules.* Multimedia Tools and Applications, vol.75, no.1, pp.1-23, Jul.2014.
- [10] Chai, X., Chen, Y., Broyde, L. "A novel chaos-based image encryption algorithm using DNA sequence operations." Optics and Lasers in Engineering, vol.88, pp.197-213, Jan.2017.
- [11] Ye, G., Jiao, K., Pan, C., & Huang, X. "An Effective Framework for Chaotic Image Encryption Based on 3D Logistic Map." Security and Communication Networks, pp.11, Oct.2018.
- [12] Wu, J., Liao, X., & Yang, B. "Image encryption using 2D Hénon-Sine map and DNA approach." Signal Processing, vol.153, pp.11-23, Jun.2018.
- [13] Kaundal, A.K., Verma, A.K. "DNA based cryptography: a review." International Journal of Information and Computation Technology, vol.4, no.7, pp.693-698, Aug.2014.
- [14] Jain, S., Bhatnagar, V. "A novel DNA sequence dictionary method for securing data in DNA using spiral approach and framework of DNA cryptography." Advances in Engineering and Technology Research (ICAETR), International Conference on. IEEE, pp.1-5, Aug.2014.
- [15] Babu, E. S., Nagaraju, C., & Prasad, M. K. "Light-Weighted DNA-Based Cryptographic Mechanism Against Chosen Cipher Text Attacks." Advanced Computing and Systems for Security, Springer India, vol.395, pp.123-144, 2016.
- [16] Ahmed, K., El-Henawy, I. "Increasing robustness of data encryption standard by integrating DNA cryptography." International Journal of Computers and Applications, vol.39, no.2, pp.91-105, Apr.2017.
- [17] Hossain, E. M. S., Alam, K. M. R., Biswas, M. R., & Morimoto, Y. "A DNA cryptographic technique based on dynamic DNA sequence table." Computer and Information Technology (ICCIT), 19th International Conference on. IEEE, pp.270-275, Dec.2016.
- [18] Pandya, P. "Advanced Encryption Standard." Computer and Information Security Handbook (Third Edition), pp.1185-1195, 2014.
- [19] University of Southern California. "SIPI Image Database" Internet:<http://sipi.usc.edu/database/database.php?volume=misc>, Jan. 2000.
- [20] Kumari, M., Shailender, G., & Pranshu, S. "A Survey of Image Encryption Algorithms." 3D Research, no.4, pp.1-35, Dec.2017.
- [21] Luo, Y., Yu, J., Lai, W., Liu, L. "A novel chaotic image encryption algorithm based on improved baker map and logistic map." Multimedia Tools and Applications, vol.8, no.4, pp.35, Dec.2017.
- [22] Kaur, M., Kumar, V. "A Comprehensive Review on Image Encryption Techniques." Archives of
- جهت ارزیابی الگوریتم پیشنهادی از آزمون‌هایی استاندارد از قبیل آتروپی، هیستوگرام و غیره استفاده شد که نتایج حاصل از این آزمون‌ها از قبیل نزدیک بودن میزان بی‌نظمی به عدد ۸، همگی کارآمدی سیستم رمزنگاری پیشنهادی را به وضوح نشان می‌دهند. نتایج آزمایش‌ها و تحلیل‌های امنیتی نیز نشان می‌دهد که الگوریتم پیشنهادی با کلید رمزنگاری ۲۵۶ بیتی دارای امنیت رمزنگاری قابل قبول‌تر، فضای کلید رمزنگاری بزرگ‌تر و مقاومت بیشتر در برابر عوامل خارجی نسبت به مراجع [۱۰] تا [۱۲] می‌باشد.
- بعد از بررسی نتایج حاصل از ارزیابی‌ها، می‌توان نتیجه گرفت که عملکرد سیستم رمزنگاری با تغییر نگاشت آشوبی لجستیک ۲ بعدی به هنون-سین ۲ بعدی، بهبود یافته است؛ همچنین حذف دنباله DNA و تغییر نسخه نگاشت آشوبی لجستیک، باعث افزایش عملکرد سیستم رمزنگاری شده است.
- در انتها شایان ذکر است که الگوریتم پیشنهادی توانسته است پارامترهای دقت، سرعت و شکست‌ناپذیری را نسبت به مراجع [۱۰] تا [۱۲] بهبود ببخشد.

مراجع

- [1] Xu, M. "Cryptanalysis of an Image Encryption Algorithm Based on DNA Sequence Operation and Hyper-chaotic System." 3D Research, vol.8, no.2, pp.15, Apr.2017.
- [2] Qidwai, U., Chen, C.H. "Digital image processing: an algorithmic approach with MATLAB." Chapman and Hall/CRC, Oct.2009.
- [3] Murugan, C.A., KarthigaiKumar, P. "Survey on Image Encryption Schemes, Bio cryptography and Efficient Encryption Algorithms." Mobile Networks and Applications, pp.1-6, May.2018.
- [4] Matthews, R. "On the derivation of a chaotic encryption algorithm." Cryptologia, vol.8, no.1, pp.29-42, 1989.
- [5] Guo, J.I., Yen, J.C. "A new chaotic key-based design for image encryption and decryption." In IEEE International Symposium on Circuits and Systems. Emerging Technologies for the 21st Century, Vol.4, pp.49-52, May.2000.
- [6] Dara, M., Manocheri, K. "A novel method for designing s-boxes based on chaotic logistic maps using cipher key". World applied sciences journal, vol.28, no.12, pp.2003-2009, 2013.
- [7] Elamrawy, F., Sharkas, M., Nasser, A.M. "An image encryption based on DNA coding and 2D Logistic chaotic map." International Journal of Signal Processing, vol.3, pp.27-32, 2018.
- [8] Zhang, J., Huo, D. "Image encryption algorithm based on quantum chaotic map and DNA coding." Multimedia Tools and Applications, vol.78, no.11, pp.15605-15621, 2019.
- [9] Kulsoom, A., Xiao, D., Abbas, S.A. "An efficient and noise resistive selective image encryption scheme for gray

- Computational Methods in Engineering, pp.1-29, Nov.2018.
- [23] Pei, B., Zhao, H., Xing, W., Lee, H. S. "The Exploration of Automated Image Processing Techniques in the Study of Scientific Argumentation." Cognitive Computing in Technology-Enhanced Learning, pp.175-190, 2019.
- [24] Fu, X. Q., Liu, B. C., Xie, Y. Y., Li, W., Liu, Y. "Image encryption-then-transmission using DNA encryption algorithm and the double chaos." IEEE Photonics Journal, vol.10, no.3, pp.1-15, Jun.2018.
- [25] Chaudhary, V. "PSNR and Robustness Comparison Between DCT and SVD Based Digital Image Watermarking Against Different Noise and Attacks." Advances of Science and Technology: 6th EAI International Conference, vol.274, pp.315, 2019.
- [26] Usama, M., Khan, M.K., Alghathbar, K., Lee, C., "Chaos-based secure satellite imagery cryptosystem." Computers & Mathematics with Applications, vol.60, no.2, pp.326-337, 2010.
- [27] Kumari, M., Gupta, S. "A novel image encryption scheme based on intertwining chaotic maps and RC4 stream cipher." 3D Research, vol.9, no.1, p.10, Feb.2018.
- [28] Cayre, F., & Bas, P. "Kerckhoffs-based embedding security classes for woa data hiding." IEEE Transactions on Information Forensics and Security, vol.3, no.1, pp.1-15, Mar.2008.
- [29] Nardo, L.G., Nepomuceno, E.G., Arias-Garcia, J., Butusov, D.N. "Image encryption using finite-precision error." Chaos, Solitons & Fractals, vol.123, pp.69-78, 2019.
- [30] Akhavan, A., Samsudin, A., Akhshani, A. "Cryptanalysis of an image encryption algorithm based on DNA encoding." Optics & Laser Technology, vol.95, pp.94-99, Apr.2017.
- [31] Xiong, Y., C. Quan. "Hybrid attack free optical cryptosystem based on two random masks and lower upper decomposition with partial pivoting." Optics & Laser Technology, vol.109, pp.456-464, Aug.2018.
- [32] Perry, S. "Image and Video Noise: An Industry Perspective." In Denoising of Photographic Images and Video, pp. 207-234. Springer, Cham, 2018.